令和5年度環境研究総合推進費公開シンポジウム

「微細なマイクロプラスチック濃度の計測」

2023年5月29日 13:20-13:40 Web講演

荒川久幸 · 小池義和 (東京海洋大学)·(芝浦工業大学)

自己紹介:東京海洋大学 海洋環境科学部門

■専門:海洋環境学 (特に海中の光と濁度)

なぜ光と濁りなのか?

- 〇海の諸現象(物質やエネルギーの循環)は光に よって駆動されている。
- 〇光の分布は濁りの分布に支配。
- 〇 濁りの分布は自然と人間活動
- → マイクロプラスチックも粒子

本日の内容

(1) 微細なマイクロプラスチックの調べる理由

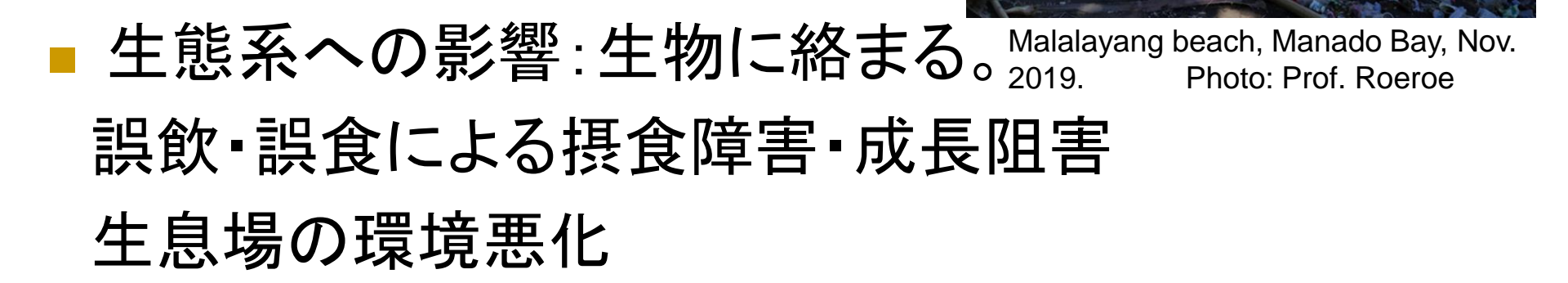
(2) 微細なマイクロプラスチックの分布 •••最新のデータも交えて。

(3) 微細なマイクロプラスチックの連続計測

海洋プラスチックごみ問題とは?

海洋プラごみの問題点:

- 船舶航行への障害(海面の大きなプラごみ、ロープ)
- 漁業操業への影響(底引き網にプラごみ多数)
- ■沿岸域居住環境への影響
- ■観光資源への影響



どのくらいあるのか?

いままでの環境への総流出量5億トンのうち、2500万トン(5%)が海洋に蓄積している。(Isobe and Iwasaki, 2022)

浮いているプラスチックは、世界の海に、5兆個以上。 27万トン。(Eriksen et al., 2014)⇒missing sink?

河川からのフラックスが過大評価。⇒missingはない。 (Weiss et al., 2021)

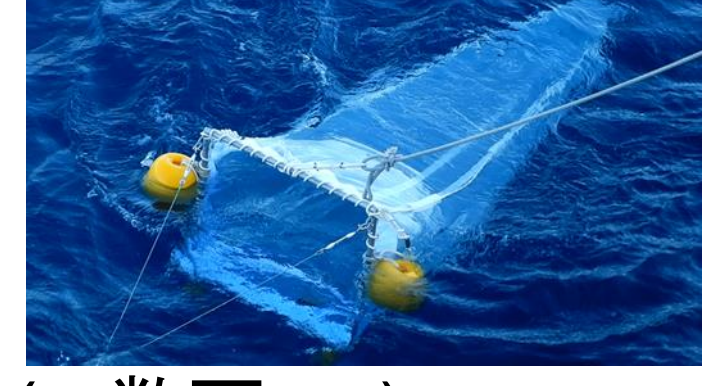


海洋プラスチックの分布や挙動の把握に至っていない。

(1) 微細なプラスチックの調べる理由

捕え方

- Macro-; 目視 (> 数cm)
- Meso-, Micro-;



ネットサンプリング (> 数百µm)

■ Small micro-, nano-; filter (< 数百µm)

前処理

- 酸化処理 (H₂O₂など)
- 密度分離 (Nal, NaClなど)

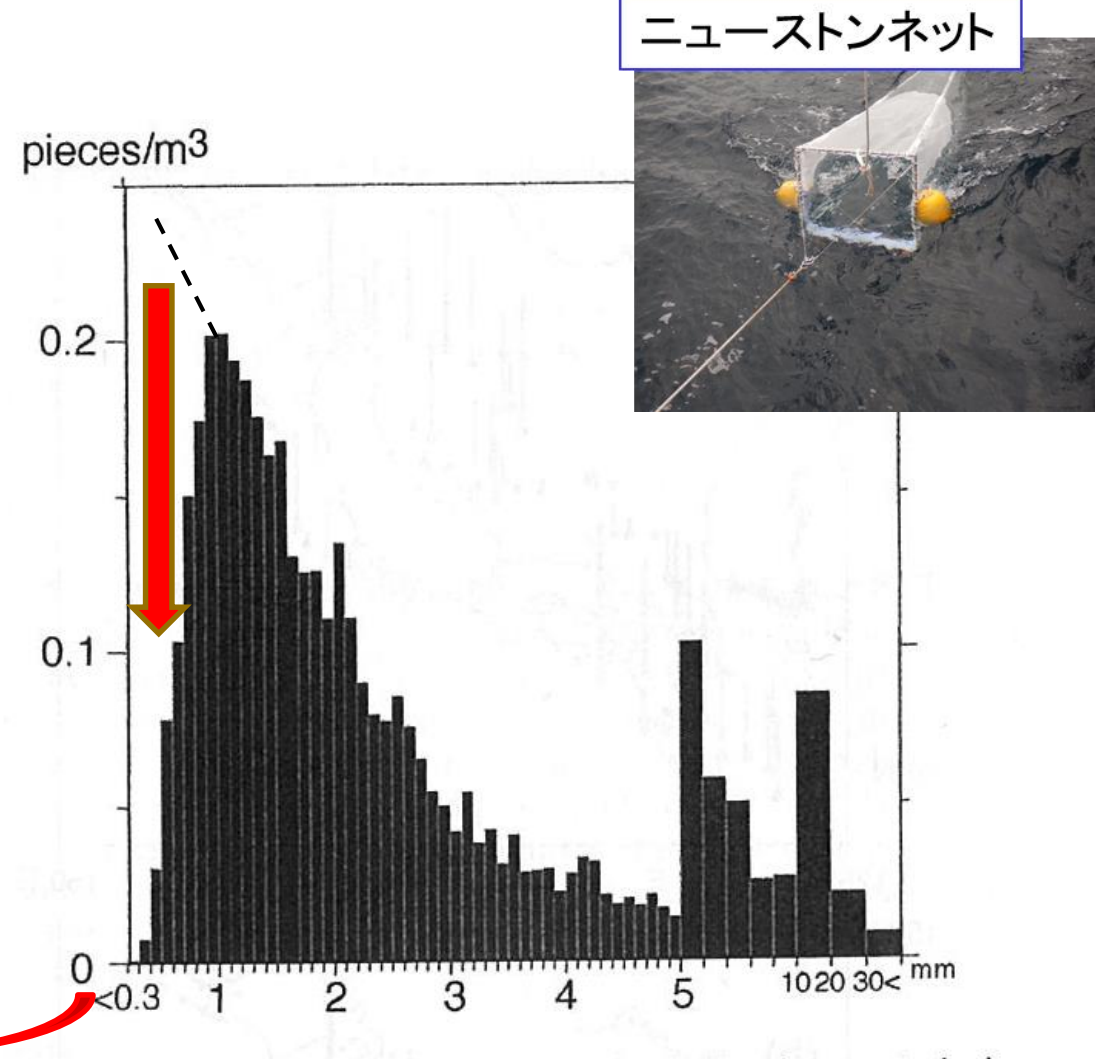
Micro-plastics

| Sea area | Classification | Particle size (mm) | Concentration (pieces m ⁻³) | Total particle count (pieces m ⁻²) | Reference |
|--------------------|----------------|--------------------|---|--|------------------------|
| East Asian Sea | meso | 5 < | 0.38 | - | Isobe et al., 2015 |
| East Asian Sea | micro | 0.35 <<5 | 3.74 | 1.72 | Isobe et al., 2015 |
| Seto Island Sea | micro | 0.35 < | 0.4 | 0.4 | Isobe et al., 2014 |
| Canal in Tokyo Bay | micro | 0.31 << 1 | - | 2.4 - 3.2 | Matsuguma et al., 2017 |
| Tokyo Bay (Summer) | micro | 0.35 <<5 | 3.98 | 0.42 | Nakano et al., 2021a |
| Tokyo Bay (Winter) | micro | 0.35 <<5 | 0.55 | 0.03 | Nakano et al., 2021a |
| Hiroshima Bay | micro | 0.3 << 5 | - | 0.03-0.24 | Sagawa et al., 2018 |
| East China Sea | micro | 0.35 < | 1.26 | - | Nakano et al., 2021b |

| MPs shape | Concentration (pieces m ⁻³) | | | | | | |
|-------------------|---|------|------|------|------|-------|---------|
| wirs snape | 2014 | 2015 | 2016 | 2017 | 2018 | 2019 | Average |
| Plastic fragments | 3.74 | 2.38 | 2.15 | 0.53 | 3.71 | 1.8 | 2.4 |
| Expanded plastics | 1.25 | 0.28 | 0.32 | 0.09 | 0.46 | 0.25 | 0.42 |
| Fibers | 0.13 | 0.06 | 0.09 | 0.01 | 0.05 | 0.05 | 0.07 |
| | | | | | (晋倍4 | 5 報生重 | 2020) |

\垛况首拟口盲, ZUZU/

粒径分布



微細なマイクロプラスチック (SMPs)

Fig. 2. Size distribution of small plastic fragments. The bars indicate the concentration in each size range on the abscissa. Note that the intervals of size ranges are 0.1 mm for microplastics, 1 mm for mesoplastics < 10 mm, and 10 mm for mesoplastics > 10 mm.

SMPs(<350µm)のとらえ方

ネット



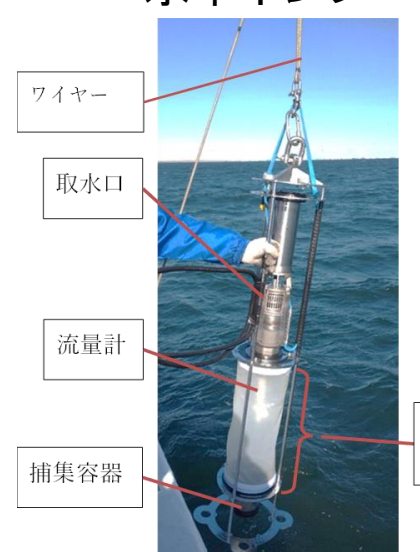
目開き; 10-50 µmなど

濾過量;20 L-100 L

ポンプ+ネット

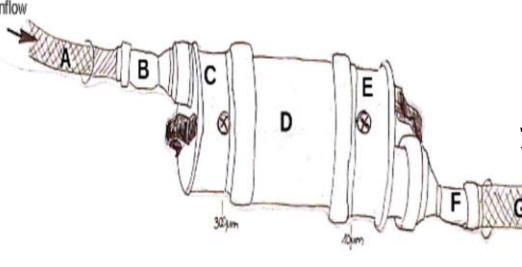


水中ポンプ



フィルター (網目 60μm)

フィルター



目開き;10 µmなど 航走して連続的に

(Enders et al., 2015)

Glass plate

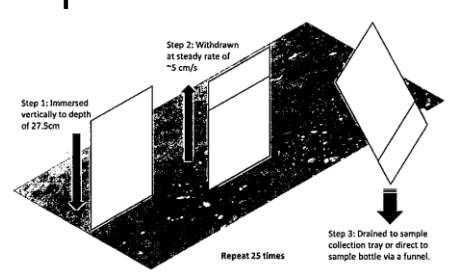
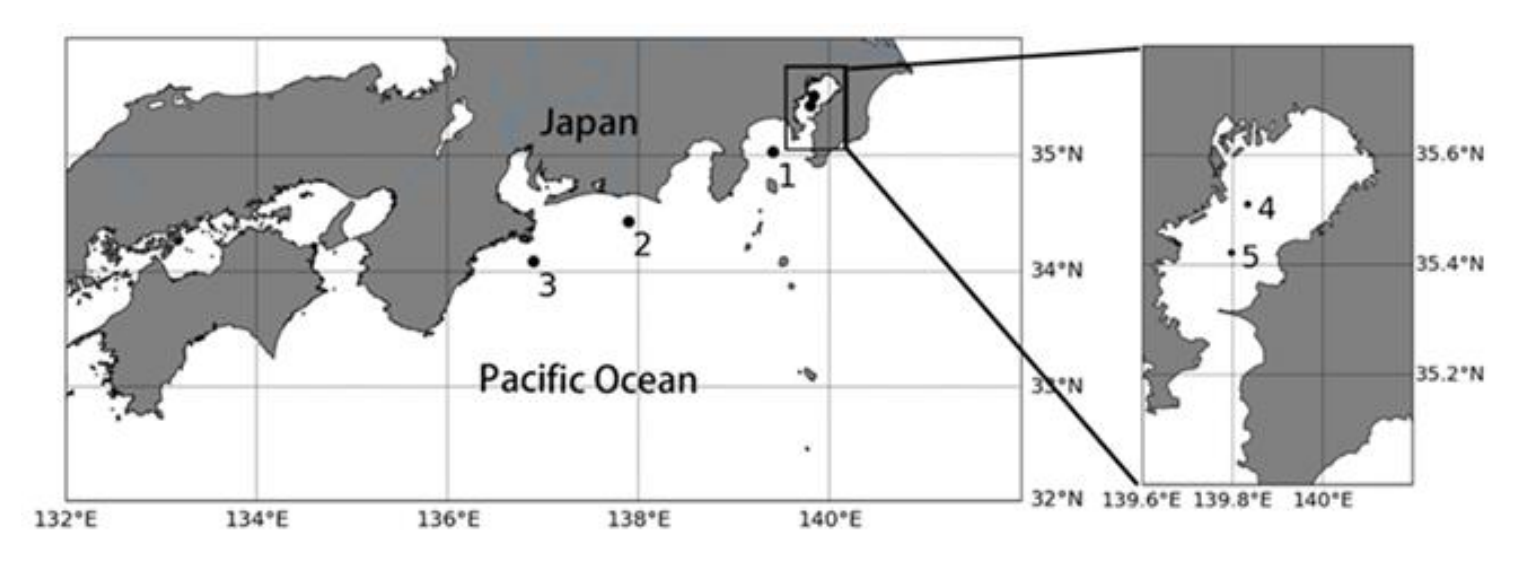


Figure 6. Schematic illustration of the glass plate sampling method used in the present study

(Anderson et al., 2018)

ネットか、フィルターか⇒粒径分布が不連続になる。

(2)SMPsの分布



Marine Pollution Bulletin 185 (2022) 114245



Contents lists available at ScienceDirect

Marine Pollution Bulletin

journal homepage: www.elsevier.com/locate/marpolbul



Contamination of sea surface water offshore the Tokai region and Tokyo



Haodong Xu, Haruka Nakano, Tadashi Tokai, Tadashi Miyazaki, Hiroaki Hamada, Hisayuki Arakawa

Tokyo University of Marine Science and Technology, Konan 4-5-7, Minato-Ku, Tokyo 108-8477, Japan

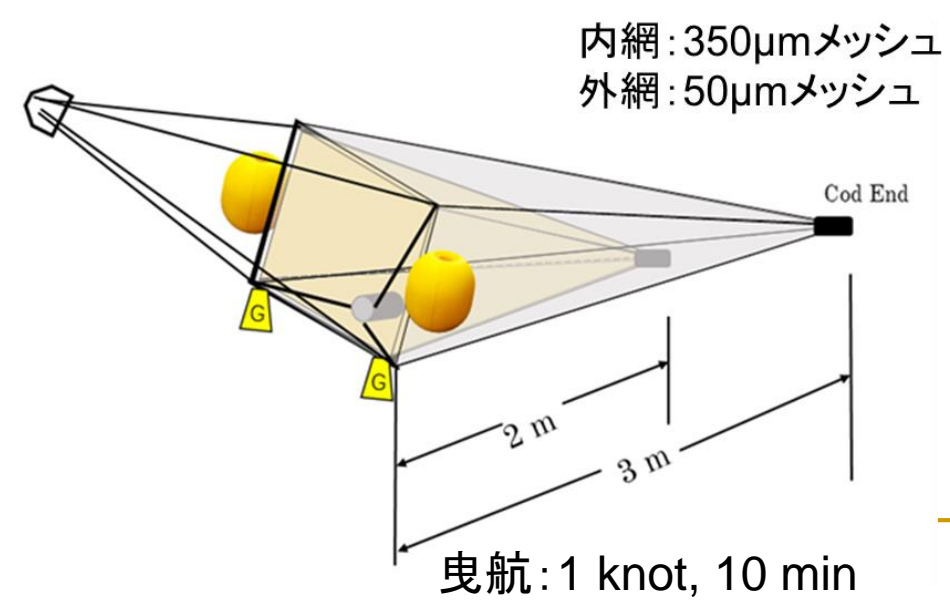
Bay in Japan by small microplastics

ARTICLEINFO

Keywords: Small microplastics Neuston net Concentration Sea surface Size distribution

ABSTRACT

A nested double neuston net was prepared and used to collect samples from the surface of coastal waters around Japan to obtain information about the properties of both small micropalastic S(IMPs; <350 µm). The SMP concentrations ranged from 1000 to 5900 pieces m^{-3} in the open ocean and averaged approximately 3000 pieces m^{-3} in the inner part of Tokyo Bay. The SMP concentrations were around 20–06 times greater than the LMP concentrations. By analyzing the seawater, we obtained a microplastic size distribution that spanned 50–5000 μ m. The LMPs mainly comprised packaging-related plastics, such as polyethylene (PE) and polypropylene, while the SMPs were dominated by paint-related plastics. SMPs derived from packaging materials (e.g., PE) may have gradually sank down from the sea surface when they were smaller than 600 μ m.

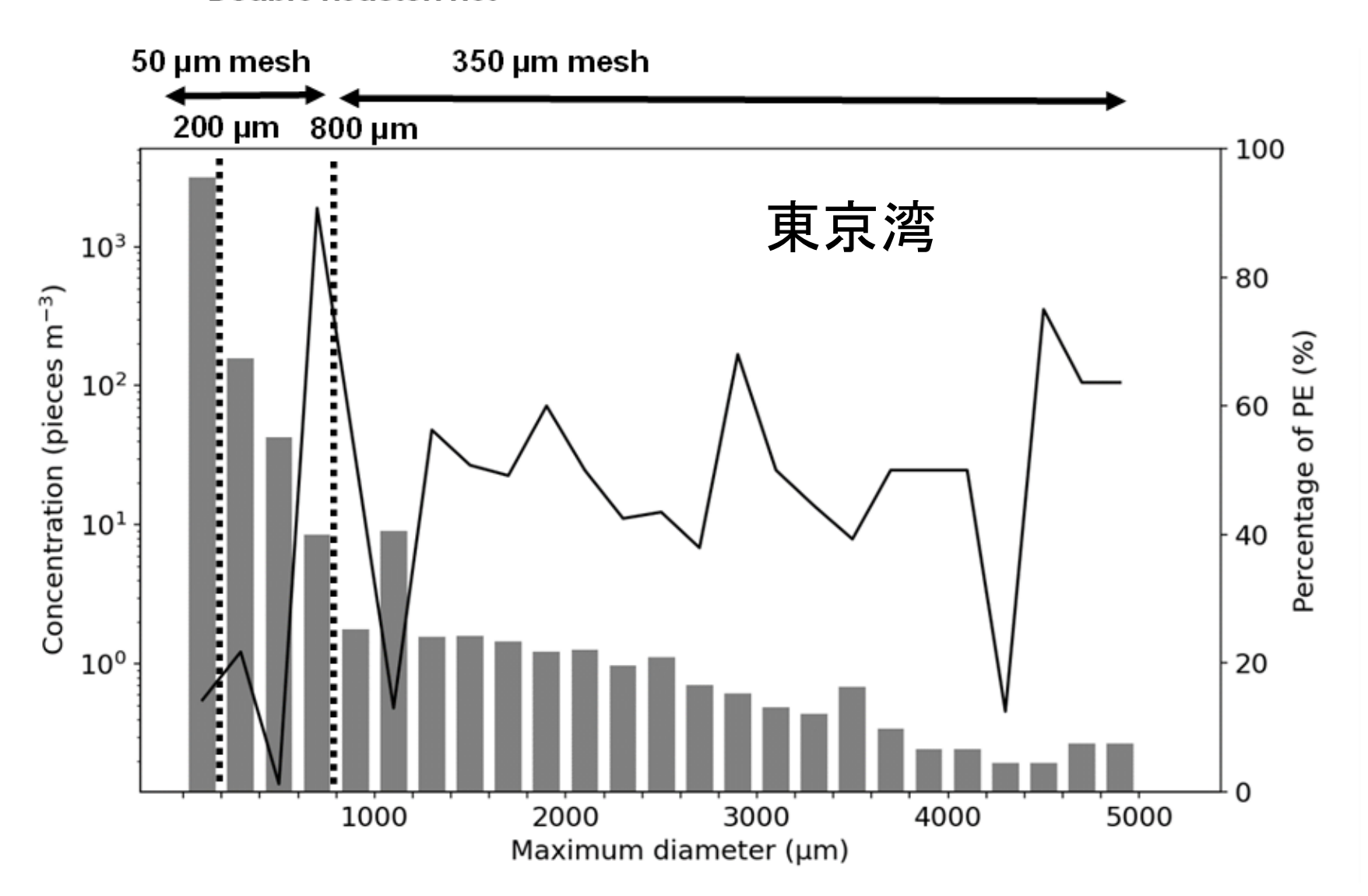


Small micro-plastics

| Station | Net type | Mesh opening (µm) | Sample number | Counts (pieces ± SD) | Filtered water amounts (m³) | Water volume for analysis (m³) | Concentration (pieces m ⁻³) |
|---------|-----------|-------------------------|------------------|-------------------------|-----------------------------|--------------------------------------|---|
| | Conventio | | | | | | |
| | nal | 350 | 1 | 28 | 292 | 292 | 0.1 |
| Sta. 1 | Double | 350 | 1 | 22 | 269 | 269 | 0.08 |
| | | 50 | - | - | - | - | - |
| | Conventio | | | | | | |
| Sta. 2 | nal | 350 | 1 | 15 | 125 | 125 | 0.12 |
| | Double | 350 | 1 | 20 | 115 | 115 | 0.17 |
| | | 50 | 3 | 54.3 ± 5.90 | | 0.037 | 5900 ± 642 |
| | Conventio | | | | | | |
| Sta. 3 | nal | 350 | 1 | 7 | 111 | 111 | 0.06 |
| | Double | 350 | 1 | 3 | 73 | 73 | 0.04 |
| | | 50 | 3 | 45.3 ± 17.8 | | 0.176 | <u>1030 ± 403</u> |
| | Conventio | | | | | | |
| | nal | 350 | 1 | 338 | 68 | 68 | 4.97 |
| Sta. 4 | Double | 350 | 1 | 841 | | 41 | _20.5 |
| | | 50 | 3 | 16.7 ± 4.80 | 41 | 0.021 | 3220 ± 924 |
| | Conventio | | | | | | |
| Sta. 5 | nal | 350 | 1 | 234 | 72 | 72 | 3.25 |
| | Double | 350 | 1 | 84 | | 34 | 2.47 |
| | | 50 | 3 | 60.3 ± 27.4 | 34 | 0.079 | 3060 ± 1390 |

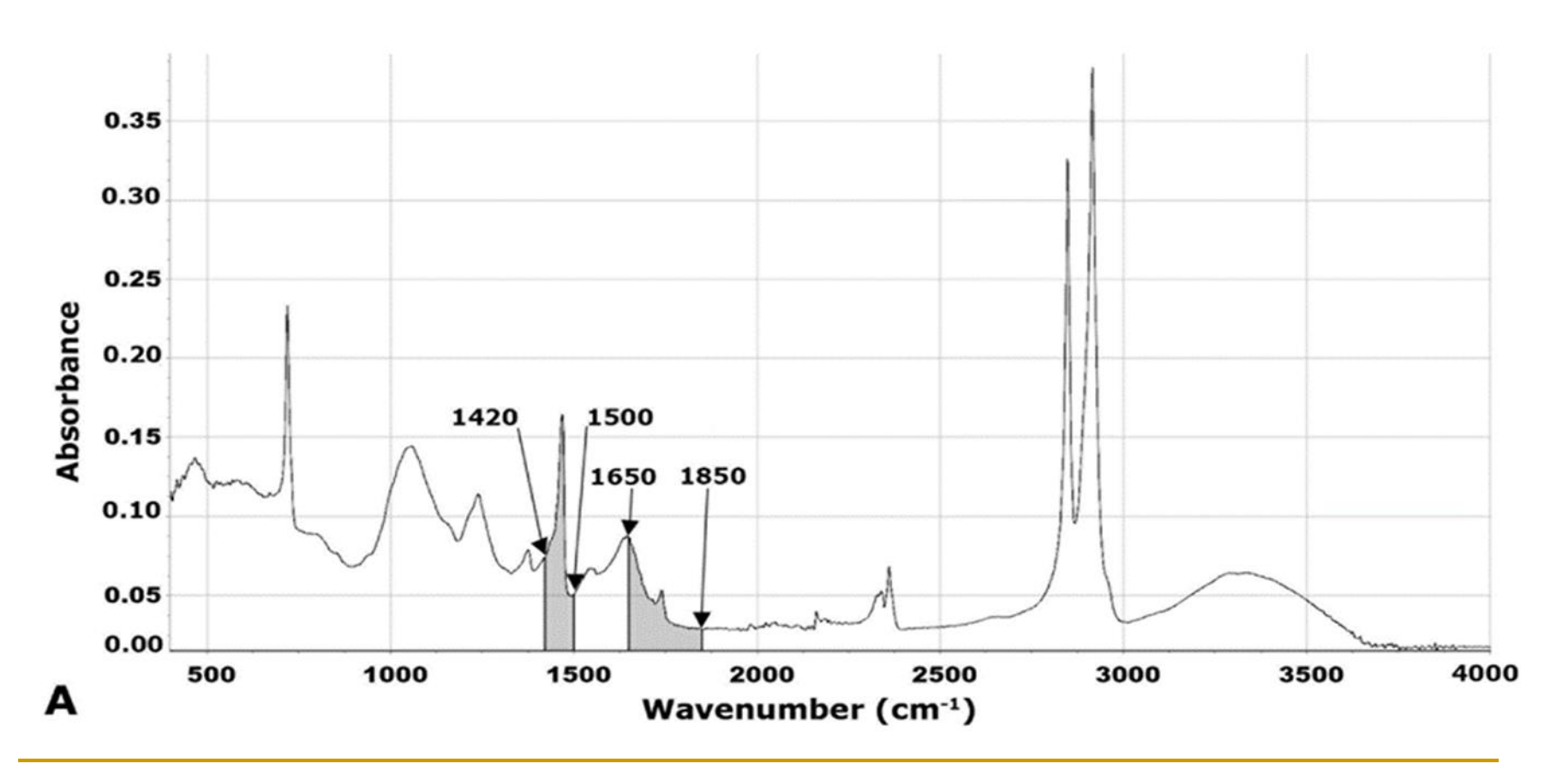
MPsの粒径分布

Double neuston net

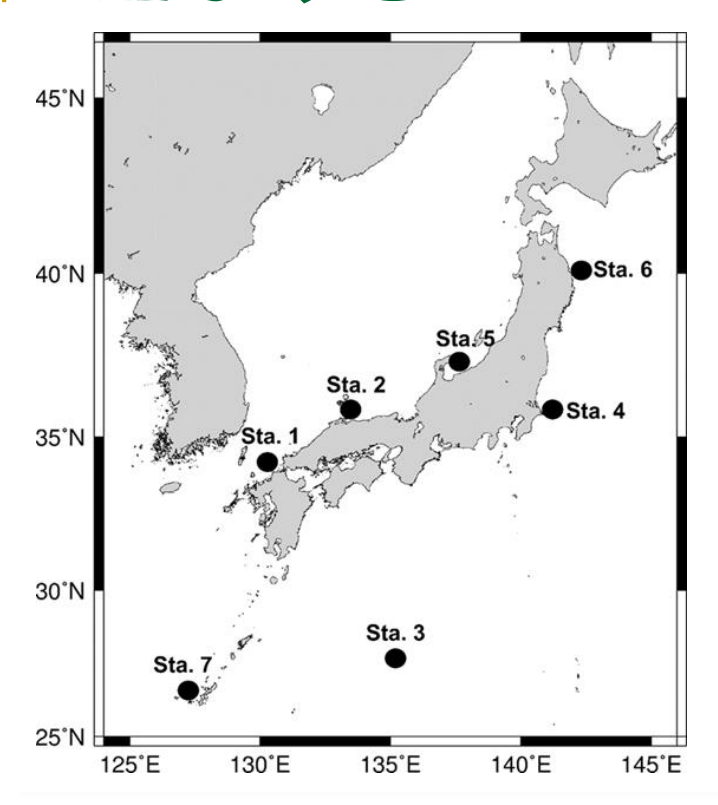


マイクロプラスチックの劣化

Carbonyl index = $\frac{Area under band 1,850 - 1,650 cm^{-1}}{Area under band 1,500 - 1,420 cm^{-1}}$



MPs OCI



Marine Pollution Bulletin 190 (2023) 114010



Contents lists available at ScienceDirec Marine Pollution Bulletin



Comparative evaluation of the carbonyl index of microplastics around the Japan coast



Murat Celik ", Haruka Nakano b, Keiichi Uchida , Atsuhiko Isobe , Hisayuki Arakawa

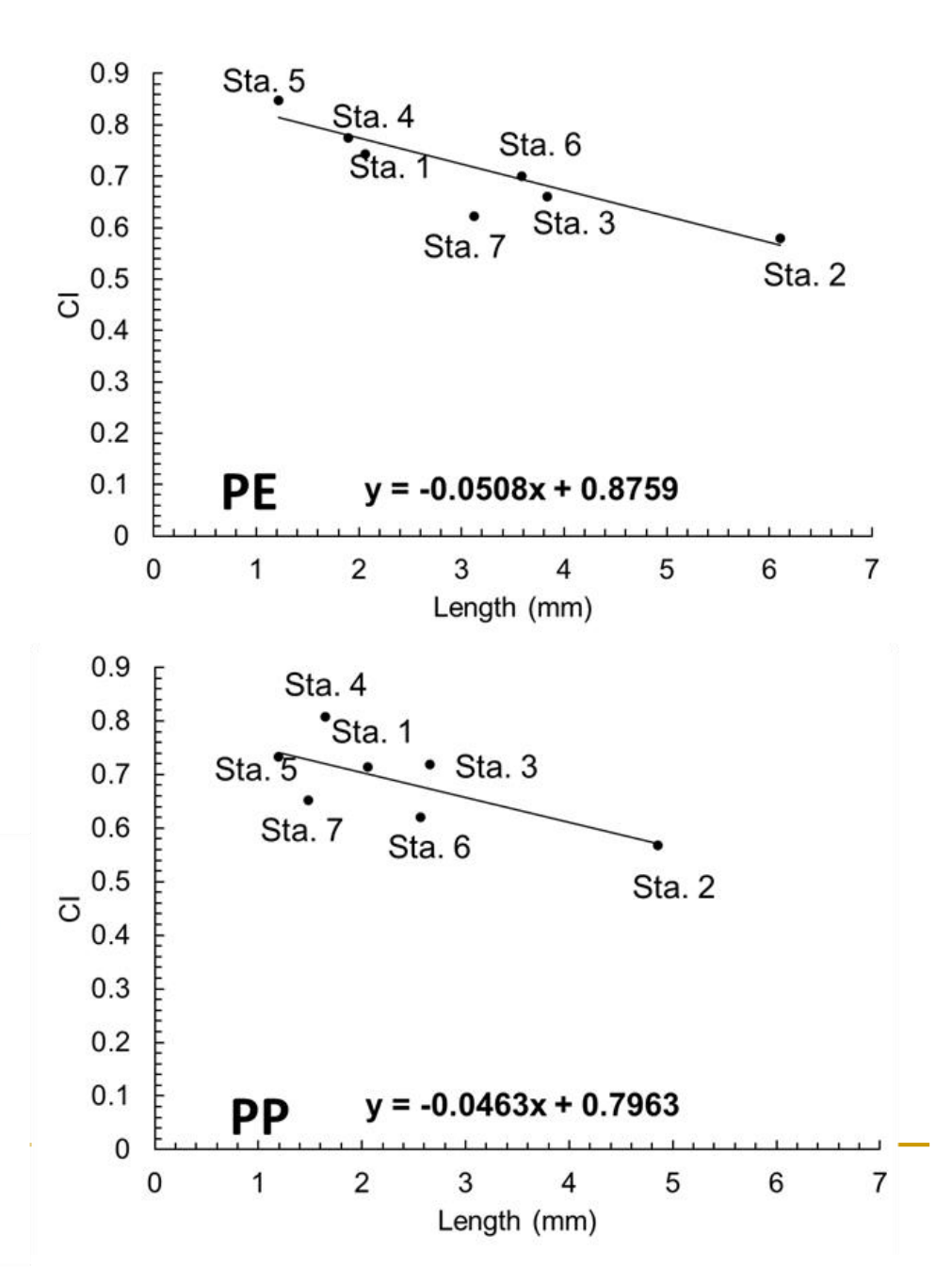
ersity of Marine Science and Technology, 4.5.7 Konen, Minato-ku, Tokyo 106 8477, Japan

⁵ Research Justitute for Applied Mechanics, Kynulus University, 6-2 Kumps Koon, Kumps, Fukuska #26-#580, Appa

ARTICLEINFO

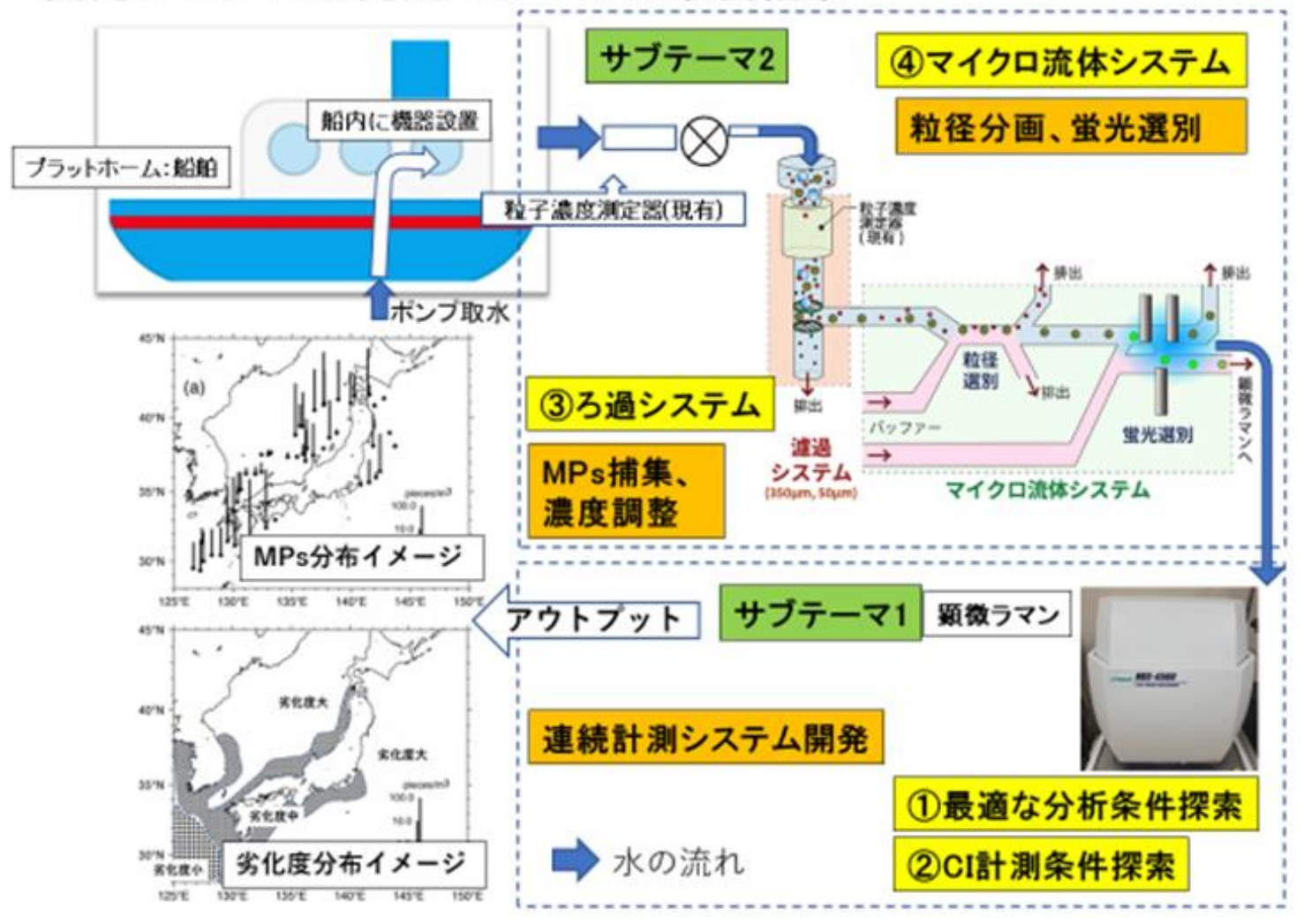
The carbonyl index (Cl) of polyethylene and polypropylene microplastics (MPu) (2950 particles) collected in coastal waters around Japan was investigated. The Cl of MPu was calculated by the specified area under band

technique. The mean MP CI in all samples (regardless of shape and color) was 0.69 ± 0.34 and 0.70 ± 0.34 for polyethylene and polypropylene, respectively, and there was no significant difference in the color or shape of the MPs. The polyethylene, white, and fragment MPs CI was negatively (p < 0.05) correlated with the major length of the MFs. Large MFs with relatively little detectoration were distributed along the west coast of the Sen Japan, whereon small MFs were distributed along the east coast. Our findings of this gradual change in the deterioration of MPs, based on geographical distribution, are in accordance with literature CI-size and MP



微細なマイクロプラスチックの連続計測

開発システムの完成イメージと最終結果



いまだマイクロプラスチックの分布や挙動がはっきりしない。

- 表面には大きなMPsが多く分布する。
- 北上するほど粒子が小さくなり、SMPs濃度も増加する。
- MPsの粒径が小さいほどCIは高い。
- 連続的なSMPs濃度およびCIの変化を知る必要がある。連続計測システムが不可欠である。

謝辞:

本研究の多くの部分は、環境保全再生機構の推進 費によって進められています。お礼申し上げます。